

УДК 548: 537. 611. 46

©1993

ОПТИЧЕСКИЕ СВОЙСТВА МОНОКРИСТАЛЛОВ $\text{Bi}_2\text{Sr}_{2-x}\text{Ca}_x\text{CuO}_{6+y}$

Л.Н.Глурджидзе, А.В.Гигинеишвили, Т.Л.Плавинский, Л.И.Леонюк

При 300 К в области энергии фотонов 0.05–5.5 эВ измерено отражение монокристаллических образцов $\text{Bi}_2\text{Sr}_{2-x}\text{Ca}_x\text{CuO}_{6+y}$ и рассчитаны спектральные зависимости основных оптических параметров. Исследована анизотропия отражения при поляризациях излучения $E \parallel a$ и $E \parallel b$.

Исследования оптических характеристик высокотемпературных сверхпроводников (ВТСП) и родственных материалов, в том числе на основе Bi, остаются актуальными [1–5]. Значителен интерес к анизотропии оптических свойств [6–10]. Экспериментальные данные, полученные на монокристаллах, пленках, керамике Bi–Sr–Ca–Cu–O, образцах, приготовленных различными способами или исследуемых различными методами, нередко противоречивы. В то же время благодаря более качественной, менее подверженной внешним воздействиям поверхности (по сравнению с другими ВТСП), а также существенному энергетическому интервалу между возбуждениями в CuO_2 и Bi_2O_2 слоях, висмутосодержащие соединения могут рассматриваться в определенном роде модельными для оптических исследований.

Измерения отражения от естественной зеркальной (5×3 мм) поверхности (*ab*)-плоскости монокристаллов $\text{Bi}_2\text{Sr}_{2-x}\text{Ca}_x\text{CuO}_{6+y}$ проводились при 300 К в области энергии фотонов 0.05–5.5 эВ на спектрально-вычислительных комплексах КСВУ-2 (для УФ и видимой частей спектра) и КСВИ (на базе ИКС-31 для ИК-области). Коэффициент отражения определялся относительно 100% отражения (при нормальном падении) от алюминиевого зеркала. Монокристаллы были синтезированы (в Московском государственном университете) медленным охлаждением расплава [11] и имели ромбическую ячейку с параметрами $a = 5.490(2)$, $b = 28.02(1)$ и $c = 24.84(1)$ Å. Сверхпроводимость с $T_c = 20 \div 30$ К у кристаллов исследуемого состава ($x = 0.1 \div 0.3$) появляется лишь после отжига в кислороде [12]. В данной работе оптические характеристики представлены для несверхпроводящих полупроводниковых образцов.

В спектре отражения (рис. 1, кривая 1) между двумя глубокими минимумами $E_0 = 78$ мэВ и $E''_0 = 4.70$ эВ располагается широкая полоса. Коротковолновый край этой полосы можно считать проявлением междузонных переходов электронов в средней и ближней ИК-областях. Строение рассчитанных по стандартной методике с применением соотношений

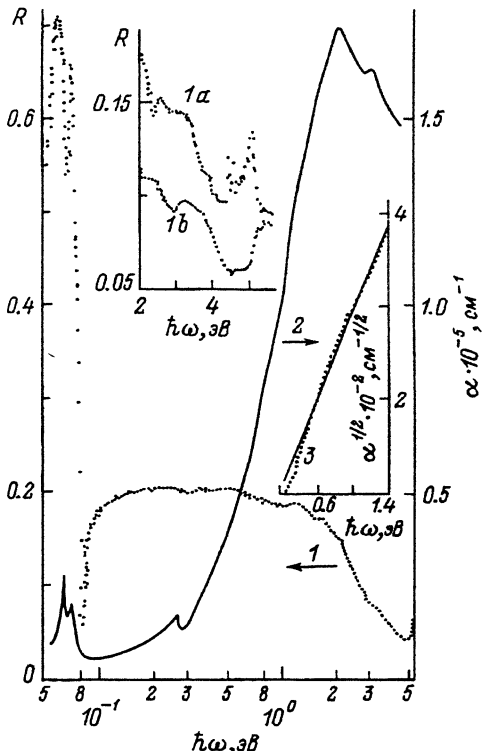


Рис. 1. Спектры отражения R (1) и поглощения α (2).

На вставках — коротковолновая часть спектра отражения при поляризациях излучения $E \parallel a$ (1a) и $E \parallel b$ (1b), характер частотной зависимости коэффициента поглощения на краю поглощения (3).

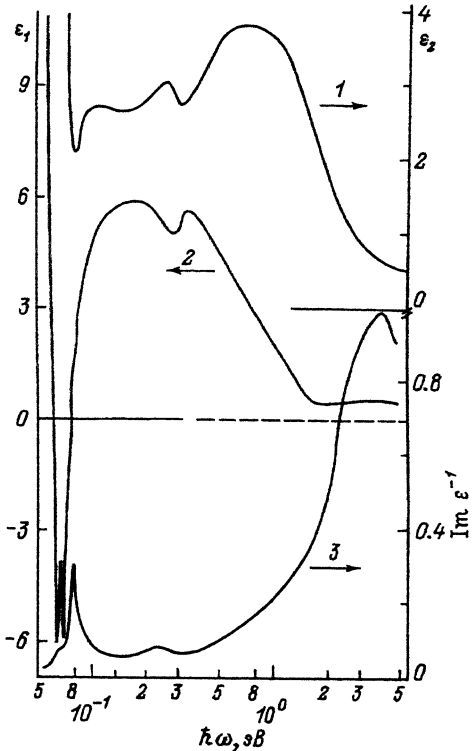


Рис. 2. Спектры мнимой ϵ_2 (1) и действительной ϵ_1 (2) частей диэлектрической проницаемости, функции характеристических потерь $\text{Im}\epsilon^{-1}$. 3.

Крамерса–Кронига спектров коэффициента поглощения, мнимой и действительной частей диэлектрической проницаемости (рис. 1,2) подтверждает наличие механизма поглощения в области $\sim 0.3 \div 2$ эВ (имеют место монотонное нарастание α с максимумом при 2.1 эВ, формирование при 0.3 эВ простирающейся вплоть до 2 эВ полосы ϵ_2 и характерный спад почти до нуля величины ϵ_1). В то же время наблюдаемая интенсивность этих структур не типична для прямых междузонных переходов. Анализ края поглощения (рис. 1, кривая 1) показал, что в довольно широком интервале (0.3–1.4 эВ) данные хорошо укладываются на частотную зависимость $\alpha \sim (\hbar\omega - E_0)^2$, характерную для непрямых оптических переходов электронов (рис. 1, кривая 3). Энергия этого перехода оценивается в 0.25 эВ, и в соответствии с зонным строением [13] его можно идентифицировать как переход из $p(0) - d(\text{Cu})$ начальных в $d(\text{Cu})$ конечные состояния. Вероятная перестройка зон при переходе к сверхпроводящему составу может привести к низкоэнергетическому смещению, а в некоторых случаях — к полному исчезновению особенностей в данном спектральном интервале, что и наблюдалось в [1] при сопоставлении

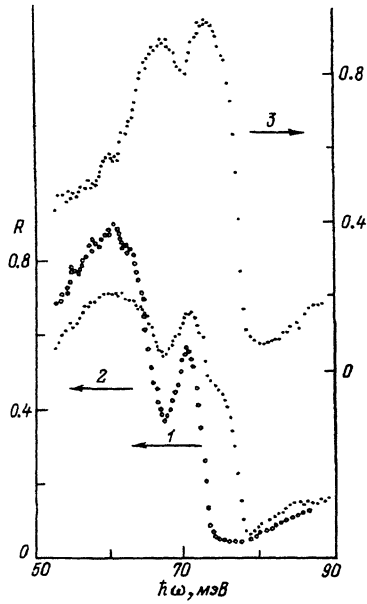


Рис. 3. Строение и анизотропия длинноволновой полосы отражения.

1 — неполяризованное излучение,
2 — $E \parallel b$,
3 — $E \parallel a$.

спектров $\text{Bi}_2\text{Sr}_2\text{YCu}_2\text{O}_8$ и $\text{Bi}_2\text{Sr}_2\text{Cu}_2\text{O}_8$. Различные подходы привлекались [1, 14–18] для объяснения этого характерного для ВТСП или родственных материалов поглощения, однако однозначная интерпретация, возможно, принципиально важная для построения завершенной модели оптических процессов в ВТСП, пока не сформировалась.

Учитывая распределение по энергии и происхождение различных максимумов плотности состояний [13], рост отражения за минимумом E_0'' должен уже определяться вкладом переходов электронов в p -В₁ зону проводимости.

Как следует из рис. 2 (пересечение нуля с положительным наклоном зависимостью $\varepsilon_1(\omega)$ при 75 мэВ, максимум функции потерь 81 мэВ), минимум $E_0 = 78$ мэВ в спектре отражения следует приписать плазмонам с этим значением экранированной плазменной частоты. Полагаем, что $\varepsilon_{00} = 4.5$ [2] и $m^* = m_0$. Тогда концентрация свободных носителей оценивается в разумное для данного состава значение $2.1 \cdot 10^{19} \text{ см}^{-3}$.

Согласно накопленному обширному материалу по строению фононного спектра ВТСП [2, 10, 18–20] при поляризациях $E \perp c$, в спектрах отражения несверхпроводящих фаз должны наблюдаться резкие полосы, соответствующие колебаниям атомов в (a, b) -плоскости кристалла с симметрией E_u . Предельная частота колебаний достигает $\sim 600 \text{ cm}^{-1}$. Таким

Энергетическое положение и анизотропия структур отражения (1.5-максимумы, 0-минимумы)

Поляризация	E_1	E_2	E'_0	E_3	E_0	E'_4	E_4	E''_0	E_5
мэВ									
$E \parallel b$	60	67	67	70	76	2.2	3.30	4.7	5.45
$E \parallel a$		67	70	72.5	81		~ 3	4.3	5.05

образом, максимумы отражения $E_1 = 60$ и $E_3 = 71$ мэВ, непосредственно завершающие длинноволновый плазмонный край, очевидно, обусловлены взаимодействием излучения с колебаниями кристаллической решетки. Однако появилась и существенная анизотропия в этой области спектра (рис. 3, таблица). При поляризации $E \parallel a$, кроме коротковолнового смещения полосы в целом, максимум E_2 энергетически замещает довольно глубокий при $E \parallel b$ минимум E_0 , приводя, естественно, к более мелкому его уровню в неполяризованном свете. Кроме того, имеет место практически полное гашение максимума E_1 . Для интерпретации наблюдаемой поляризационной зависимости, вероятно, необходим теоретико — групповой анализ колебательного процесса.

Как видно из рис. 1, анизотропия выявлена и в области фундаментального поглощения. Структуры при поляризации $E \parallel a$ претерпевают красный сдвиг на 0.3–0.5 эВ по сравнению с их положением при $E \parallel b$ (см. таблицу). Затрагивает это в основном ту часть спектра, где приоритетный вклад должны давать возбуждения в висмутокислородных плоскостях либо где именно атомы висмута ответственны за формирование конечного состояния электрона. Кроме того, несомненно, что в оптических процессах в конкретных правилах отбора существенную роль будут играть гибридизированные в окрестностях уровня Ферми $d(\text{Cu})$, $p(\text{O})$, $p(\text{Bi})$ состояния.

Авторы выражают благодарность И.А.Смирнову за постоянный интерес к работе, Э.Р.Кутелия за предоставление некоторых кристаллографических данных.

Список литературы

- [1] Terasaki I., Nakahashi T., Takebayashi S., Maeda A., Uchinokura K. // Physica C. 1990. V. 165. N 2. P. 152–160.
- [2] Грачев А.И. // СФХТ. 1990. Т. 3. № 11. С. 2517–2523.
- [3] Баженов А.В. // ЖЭТФ. 1992. Т. 102. № 3. С. 1040–1055.
- [4] Humllichek I., Schmidt E., Bocanek L., Garriga M., Gardona M. // Sol. St. Comm. 1990. V. 73. N 2. P. 127–130.
- [5] Bouvier J., Bontemps N., Boccara A.C. // J. Less-Comm. Metals. 1990. V. 164/165. N 1/2. P. 1092–1098.
- [6] Петров М.П., Грачев А.И., Красинькова М.В., Нечитайлов А.А., Поборчий В.В., Шагин С.И. // Письма в ЖЭТФ. 1989. Т. 50. № 1. С. 25–29.
- [7] Баженов А.В., Тимофеев В.Б. // СФХТ. 1990. Т. 3. № 6. С. 1174–1188.
- [8] Абелль Е.В., Багаев В.С., Басов Д.Н., Плотников А.Ф., Поярков А.Г., Гончаров А.Ф., Стишов Е.Н., Калягин М.А., Салащенко Е.Н. // СФХТ. 1990. Т. 3. № 8. С. 1624–1627.
- [9] Kim J.H., Bozovich I., Mitri D.B., Kapitulnic A., Harris J.S., Jr. // Phys. Rev. B. 1990. V. 41. N 10b. P. 7251–7253.
- [10] Константинов В.Л. // СФХТ. 1992. Т. 5. № 6. С. 1026–1032.
- [11] Глурджидзе Л.Н., Гигинеишвили А.В., Леонюк Л.И., Белохонева Е.Л., Плавинский Т.Л., Гегешидзе К.Р. // Тез. Докл. II Всес. конф. по ВТСП. Киев, 1989. Т. 2. С. 162–163.
- [12] Воронкова Б.И., Гиппиус А.А., Мошалков Б.Б., Янковский В.К. // СФХТ. 1990. Т. 3. № 6. С. 1135–1137.
- [13] Massida S., Yu J., Freeman A.J. // Physica C. 1988. V. 152. N 3. P. 251–258.
- [14] Schlesinger Z., Collins R.T., Kaiser D.L., Holtzberg F., Chanrashekhar G.U., Shafer M.F., Plaskett T.M. // Physica C. 1988. V. 153/155. P. 1734–1739.
- [15] Orenstein J., Thomas G.A., Rapkine D.H., Millis A.J., Shneemeyer L.F., Waszezak I.W. // Ibid. P. 1740–1743.
- [16] Махнев А.А., Номерованная Л.В., Кириллова М.М., Чеботаев Н.М., Наумов Ц.В., Коротин М.А. // СФХТ. 1991. Т. 4 № 4. С. 700–707.

- [17] Абросимов Н.В., Баженов А.В., Горбунов А.В., Новомлинский Л.А., Фурсова Т.Н. // СФХТ. 1991. Т. 4. № 11. С. 2165–2171.
- [18] Баженов А.В., Тимофеев Б.Б. // СФХТ. 1990. Т. 3. № 6. С. 1174–1188.
- [19] Oscar E.P., Guida J.A., Massa N.E., Aymonino P.J., Castellano E.E., Basso H.C., Gallo J.N.H., Martin A.A. // Phys. Rev. B. 1989. V. 39. N 10b. P. 7255–7259.
- [20] Hayashi Y., Fukuoka N., Harada Y., Nakanishi Sh. // J. Phys. Soc. Japan. 1990. V. 59. N 11. P. 4192–4193.

Грузинский технический университет
Тбилиси

Поступило в Редакцию
18 декабря 1990 г.
В окончательной редакции
26 мая 1993 г.
